

COMSOL Multiphysics®

计算流体力学（CFD）建模（在线课程）

Part I

COMSOL中国

张 照

应用工程师

COMSOL® 软件 产品库

COMSOL
MULTIPHYSICS®

借助数值仿真实验、预测
和优化工程设计

COMSOL COMPILER™

编译、创建可独立执行的
仿真 App

COMSOL
SERVER™

在组织内高效分发、管理
和部署仿真 App

电磁

- AC/DC 模块
- RF 模块
- 波动光学模块
- 射线光学模块
- 等离子体模块
- 半导体模块

流体 & 传热

- CFD 模块
 - 搅拌器模块
- 地下水流模块
- 管道流模块
- 微流体模块
- 分子流模块
- 传热模块

结构 & 声学

- 结构力学模块
 - 非线性结构材料模块
 - 复合材料模块
 - 岩土力学模块
 - 疲劳模块
 - 多体动力学模块
 - 转子动力学模块
- MEMS 模块
- 声学模块

化工

- 化学反应工程模块
- 电池与燃料电池模块
- 电镀模块
- 腐蚀模块
- 电化学模块

多功能

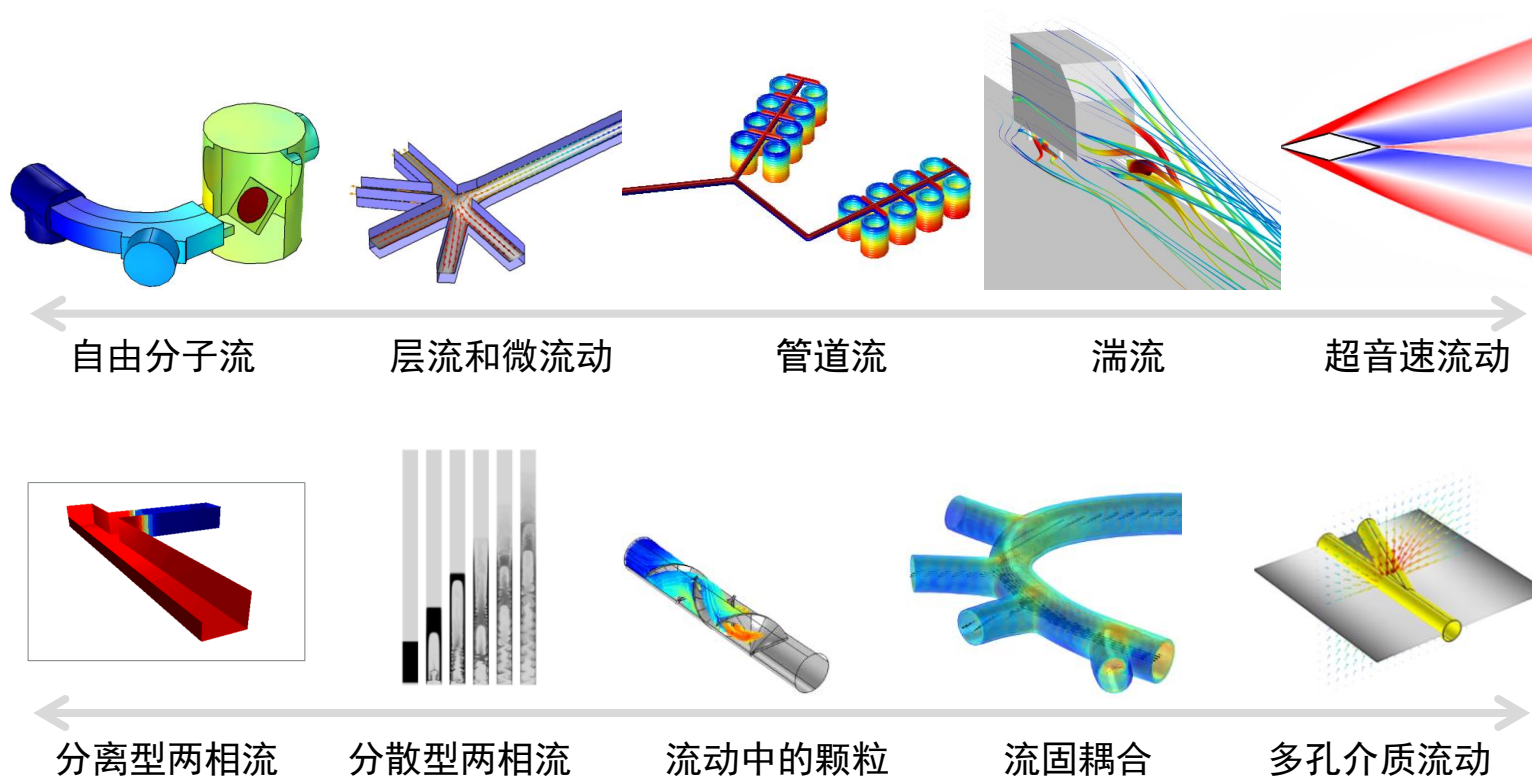
- 优化模块
- 材料库
- 粒子追踪模块

接口

- LiveLink™ for MATLAB®
- LiveLink™ for Excel®
- CAD 导入模块
- 设计模块
- ECAD 导入模块
- LiveLink™ for SOLIDWORKS®
- LiveLink™ for Inventor®
- LiveLink™ for AutoCAD®
- LiveLink™ for Revit®
- LiveLink™ for PTC® Creo® Parametric™
- LiveLink™ for PTC® Pro/ENGINEER®
- LiveLink™ for Solid Edge®
- File Import for CATIA® V5

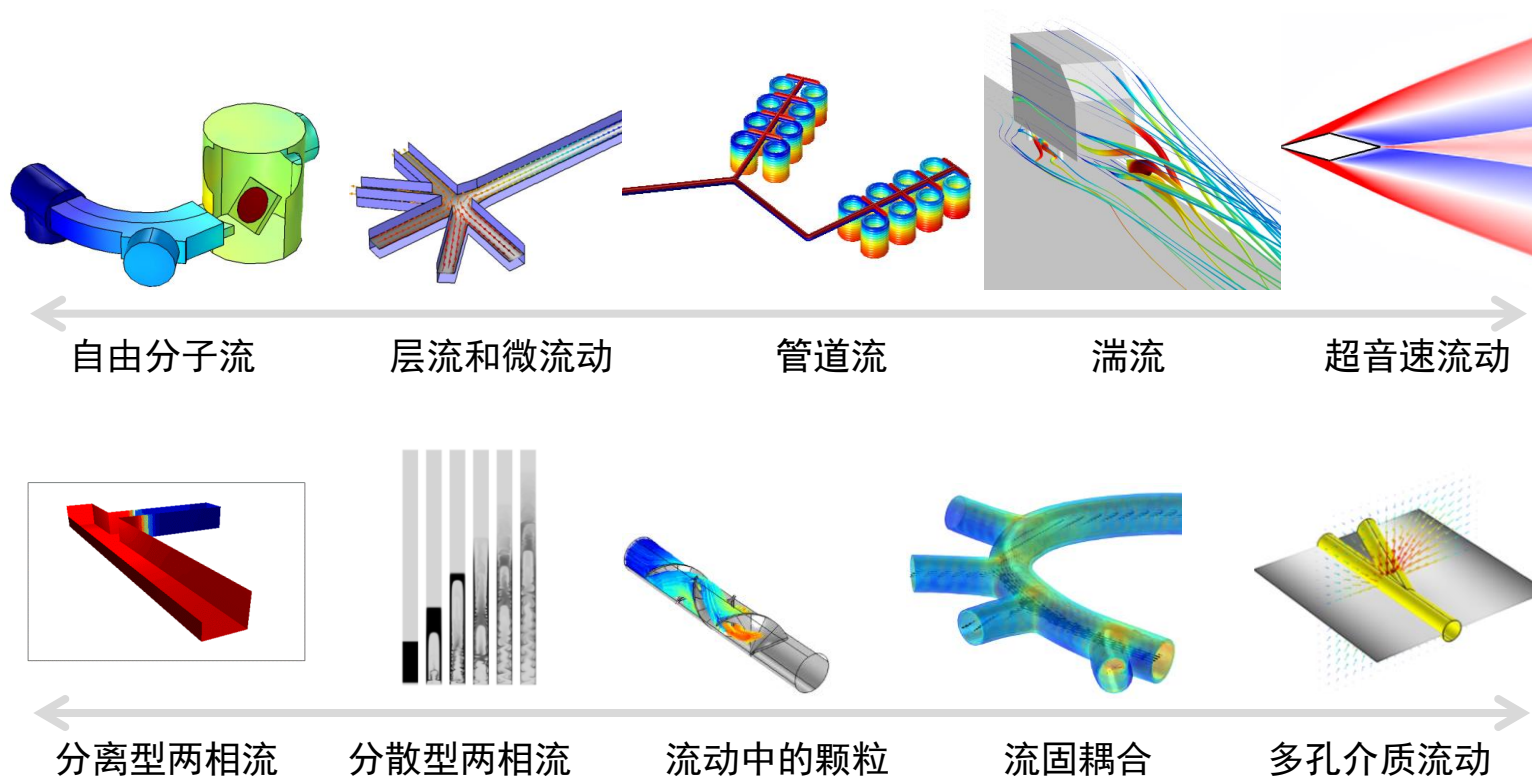
主要内容

- 流体方程及边界条件
- 蠕动流、层流和非牛顿流体建模
- 湍流建模
- 旋转机械内流体流动
- 薄膜流与管道流
- 多孔介质与地下水流动
- 多相流仿真
- 流体中的粒子追踪
- 非等温流建模
- 高马赫数流动
- 多物理场模型：反应流，流固耦合建模



主要内容

- 流体方程及边界条件
- 蠕动流、层流和非牛顿流体建模
- 湍流建模
- 旋转机械内流体流动
- 薄膜流与管道流
- 多孔介质与地下水流动
- 多相流仿真
- 流体中的粒子追踪
- 非等温流建模
- 高马赫数流动
- 多物理场模型：反应流，流固耦合建模



基本原理

- 流体是连续介质（液体、气体、等离子体），在剪切应力下发生相应的变形
- 流体力学：研究流体及其应力-应变响应
 - 流体静力学：研究静止状态的流体
 - 流体运动学：研究运动中的流体
 - 流体动力学：研究流体运动时的效应或力
- 流体力学是连续介质力学的一个分支
 - 从宏观的角度来模拟物质
 - 不考虑物质的原子结构信息
- 一般原理：质量、动量和能量守恒

计算流体力学 (CFD)

- 流体力学的一个分支，使用数值方法和算法来求解和分析流体流动问题
 - 1910: 手算 (人力计算机: 2000 操作/周)
 - 1930: 计算机开始用于进行计算
- 数值方法需要将问题在空间和时间上**离散**
 - 有限差分法 (FDM)
 - 有限体积法 (FVM)
 - 有限元法 (FEM) 
 - ...
- CFD 往往很复杂，需要大量计算资源
 - 非线性、耦合、离散、不同尺度、流动类型



平衡方程 – 质量守恒

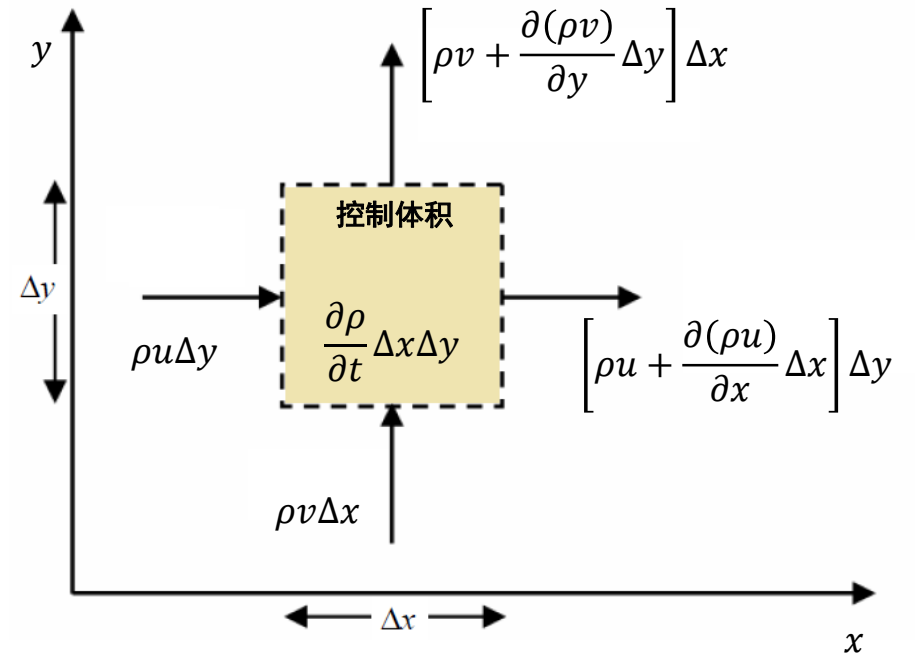
- 质量守恒（二维）：
 - 质量不能被创建，也不能被消灭

平衡： 质量变化 = Σ 流入的质量 - Σ 流出的质量

- 质量守恒（三维）

$$\frac{\partial \rho}{\partial t} + \frac{\partial(\rho u)}{\partial x} + \frac{\partial(\rho v)}{\partial y} = 0$$

$$\frac{\partial \rho}{\partial t} + \frac{\partial(\rho u)}{\partial x} + \frac{\partial(\rho v)}{\partial y} + \frac{\partial(\rho w)}{\partial z} = 0$$



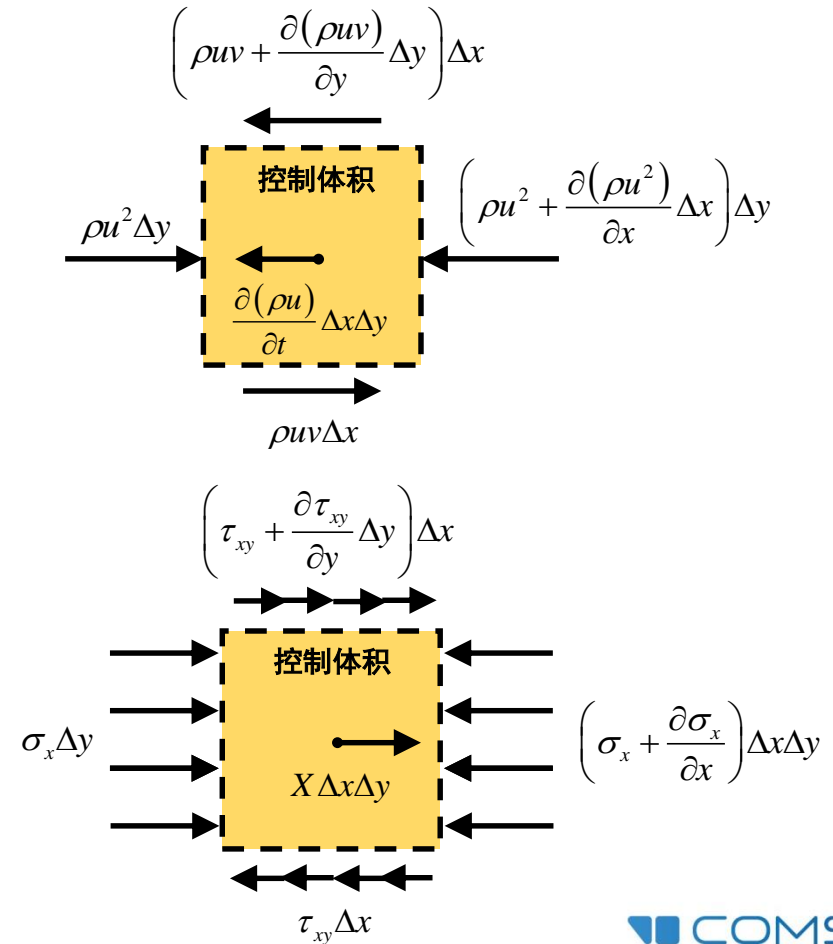
平衡方程 – 动量守恒

- 基于牛顿第二定律：

$$\begin{aligned} [\text{动量的变化}] &= \Sigma \text{ 流入的动量} \\ &\quad - \Sigma \text{ 流出的动量} \\ &\quad + \Sigma \text{ 外部作用力} \\ &\quad + \Sigma \text{ 内部作用力} \end{aligned}$$

- 动量守恒（二维）：

$$\begin{aligned} \rho \frac{\partial u}{\partial t} + u \frac{\partial u}{\partial x} + v \frac{\partial u}{\partial y} &= -\frac{\partial \sigma_x}{\partial x} + \frac{\partial \tau_{xy}}{\partial y} + X \\ \rho \frac{\partial v}{\partial t} + u \frac{\partial v}{\partial x} + v \frac{\partial v}{\partial y} &= -\frac{\partial \sigma_y}{\partial y} + \frac{\partial \tau_{yx}}{\partial x} + Y \end{aligned}$$



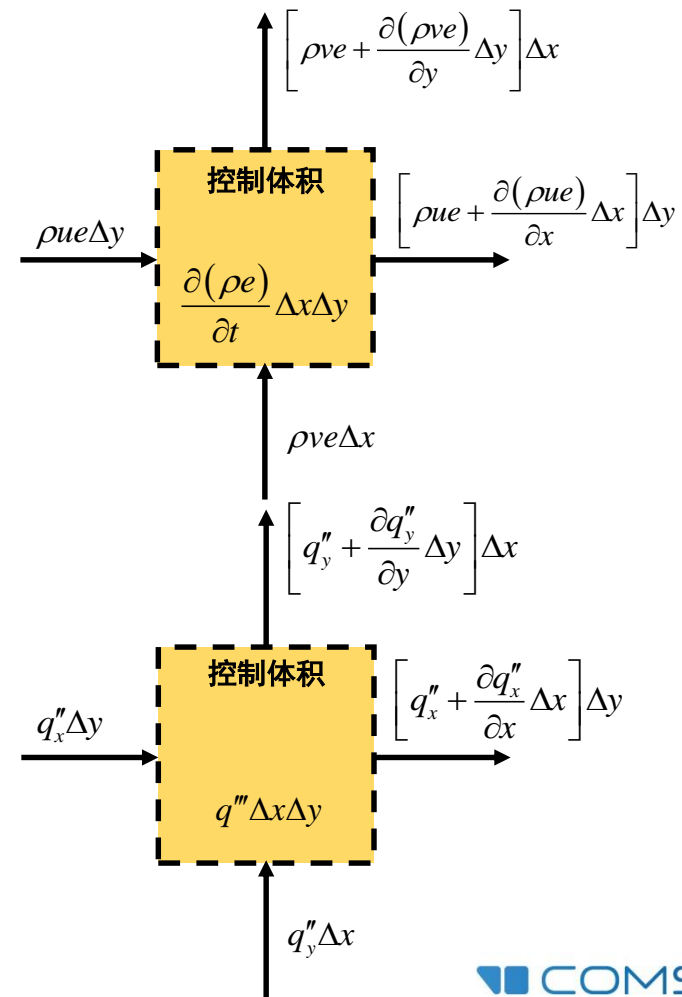
平衡方程 – 能量守恒

- 能量守恒

$$\left(\begin{array}{c} \text{能量} \\ \text{累积速率} \end{array} \right) = \left(\begin{array}{c} \text{流体传递的} \\ \text{净能量} \end{array} \right) + \left(\begin{array}{c} \text{热传导传递的} \\ \text{净能量} \end{array} \right) + (\text{内部发热}) - \left(\begin{array}{c} \text{从流体传递到} \\ \text{周围的净功} \end{array} \right)$$

→ 能量守恒 ⇔ 广义传热方程

$$\begin{aligned} \frac{\partial(\rho e)}{\partial t} \Delta x \Delta y &= - \left[\frac{\partial(\rho u e)}{\partial x} + \frac{\partial(\rho v e)}{\partial y} \right] \Delta x \Delta y \\ &\quad - \left[\frac{\partial q_x''}{\partial x} + \frac{\partial q_y''}{\partial y} \right] \Delta x \Delta y + q''' \Delta x \Delta y \\ &\quad - \left[\sigma_x \frac{\partial u}{\partial x} - \tau_{xy} \frac{\partial u}{\partial y} + \sigma_y \frac{\partial v}{\partial y} - \tau_{xy} \frac{\partial v}{\partial x} \right] \Delta x \Delta y \\ &\quad - \left[u \frac{\partial \sigma_x}{\partial x} - u \frac{\partial \tau_{xy}}{\partial y} + v \frac{\partial \sigma_y}{\partial y} - v \frac{\partial \tau_{xy}}{\partial x} \right] \Delta x \Delta y \end{aligned}$$



Navier-Stokes 方程

- 质量守恒:

$$\text{连续性: } \frac{\partial \rho}{\partial t} + \nabla(\rho \cdot \mathbf{u}) = 0$$

$$\mathbf{u} = \mathbf{u}(\mathbf{x}, t)$$

- 动量守恒:

$$\text{冲量: } \rho \frac{\partial \mathbf{u}}{\partial t} + \rho(\mathbf{u} \cdot \nabla)\mathbf{u} = \nabla \cdot [-p \cdot \mathbf{I} + \boldsymbol{\tau}] + \mathbf{F}$$

$$p = p(\mathbf{x}, t)$$

- 能量守恒 (只用于非等温流) :

$$\begin{aligned} \text{能量: } & \rho \cdot c_p \left(\frac{\partial T}{\partial t} + (\mathbf{u} \cdot \nabla)T \right) \\ & = -(\nabla \cdot \mathbf{q}) + \boldsymbol{\tau} : \mathbf{S} - \frac{T}{\rho} \frac{\partial p}{\partial T} \bigg|_p \left(\frac{\partial p}{\partial t} + (\mathbf{u} \cdot \nabla)p \right) + Q \end{aligned}$$


$$T = T(\mathbf{x}, t)$$

Navier-Stokes 方程特征

- 非线性偏微分方程（二阶）组的耦合体系
- 存在一些确定的解（简单情况下）
 - 压力（Poiseuille）流，拖曳（Couette）流，Stokes 边界层，Taylor-Green 涡流
- 一般存在并有唯一的解析解，三维情况未知
 - 克莱数学研究所（Clay Mathematics Institute）：Millenium Prize Problem (1'000'000 \$)

Navier-Stokes 方程变量

- 方程个数： 质量 (1), 动量 (3), 能量 (1) = 5


 - 未知变量： p (1), \mathbf{u} (3), ~~$\boldsymbol{\tau}$ (6)~~, T (1) = 11
 - 本构关系： $\boldsymbol{\tau} = \boldsymbol{\tau}(\mathbf{u})$
 - 例，牛顿流体（Newtonian Fluid）：

$$\boldsymbol{\tau} = 2\mu\mathbf{S} - \frac{2}{3}\eta(\nabla \cdot \mathbf{u})\mathbf{I}$$

$$\boldsymbol{\tau} = \begin{pmatrix} \tau_{xx} & \tau_{xy} & \tau_{xz} \\ \tau_{yx} & \tau_{yy} & \tau_{yz} \\ \tau_{zx} & \tau_{zy} & \tau_{zz} \end{pmatrix}$$
- 密度 (SI单位: kg/m³)

速度矢量 (SI单位: m/s)

压力 (SI单位: Pa)

粘性应力张量 (SI单位: Pa)

体积力矢量 (SI单位: N/m³)

常压比热容 (SI单位: J/(kg·K))

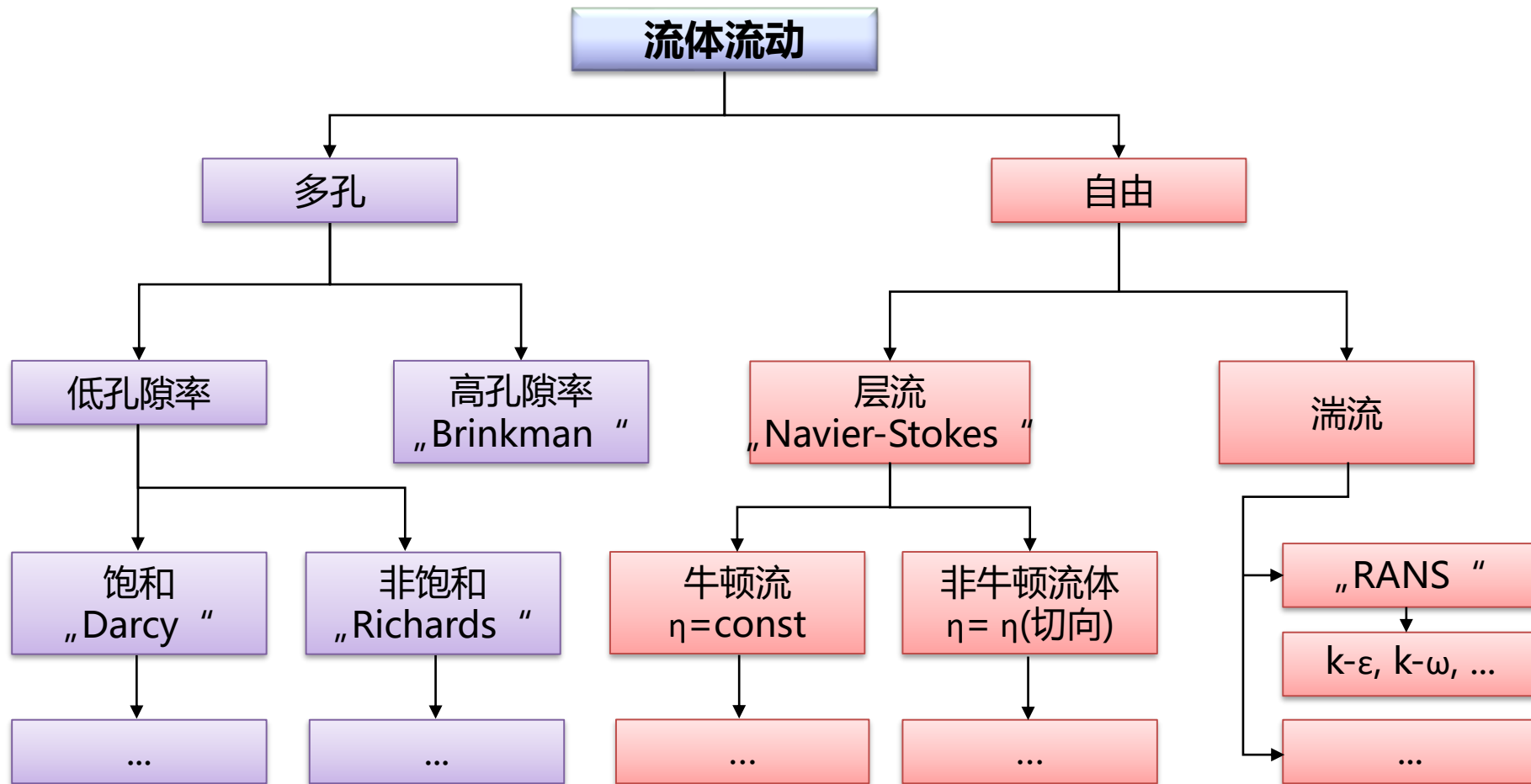
绝对温度 (SI单位: K)

热通量矢量 (SI单位: W/m²)

热源 (SI单位: W/m²)

应变速率张量:

流体流动分类



其他分类

其它分类—特征参数

- 空间维度和时间: x, t
 - 三维、二维、一维、稳态、准静态（周期性）、瞬态
- 域和边界
 - 内部（有界），外部（自由）
- 介质种类
 - 单相, 多相, 混合
- 密度: ρ
 - 不可压缩, 弱可压缩, 可压缩
- 雷诺数: Re
 - 层流, 湍流, 蠕动流
- 马赫数: Ma
 - 亚音速, 跨音速, 音速, 超音速, 高超音速
- 温度: T
 - 等温, 非等温

热: q
绝热, 非绝热

熵: S
可逆, 不可逆
- 内摩擦, 剪切应力阻
 - 粘性, 非粘性

单相流

使用雷诺数确定流型

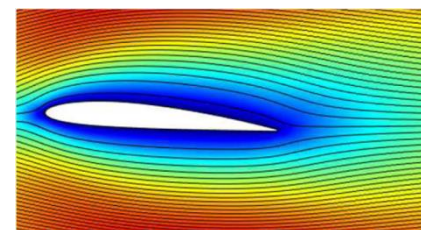
- 低 Re 数($\ll 1$): 蠕动流

- 粘性力阻碍了所有流体脉动的产生
- 可逆的平滑流型

$$Re_L \equiv \frac{\rho \cdot U \cdot L}{\mu} = \frac{\text{惯性力}}{\text{粘性力}}$$

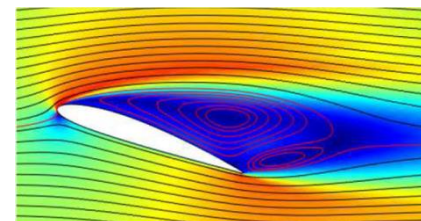
- 中等 Re 数 (~1–2000): 层流

- 惯性力的重要性逐渐增加
- 粘性力被限制在边界层、剪切层和尾迹内
- 规则，平滑流型

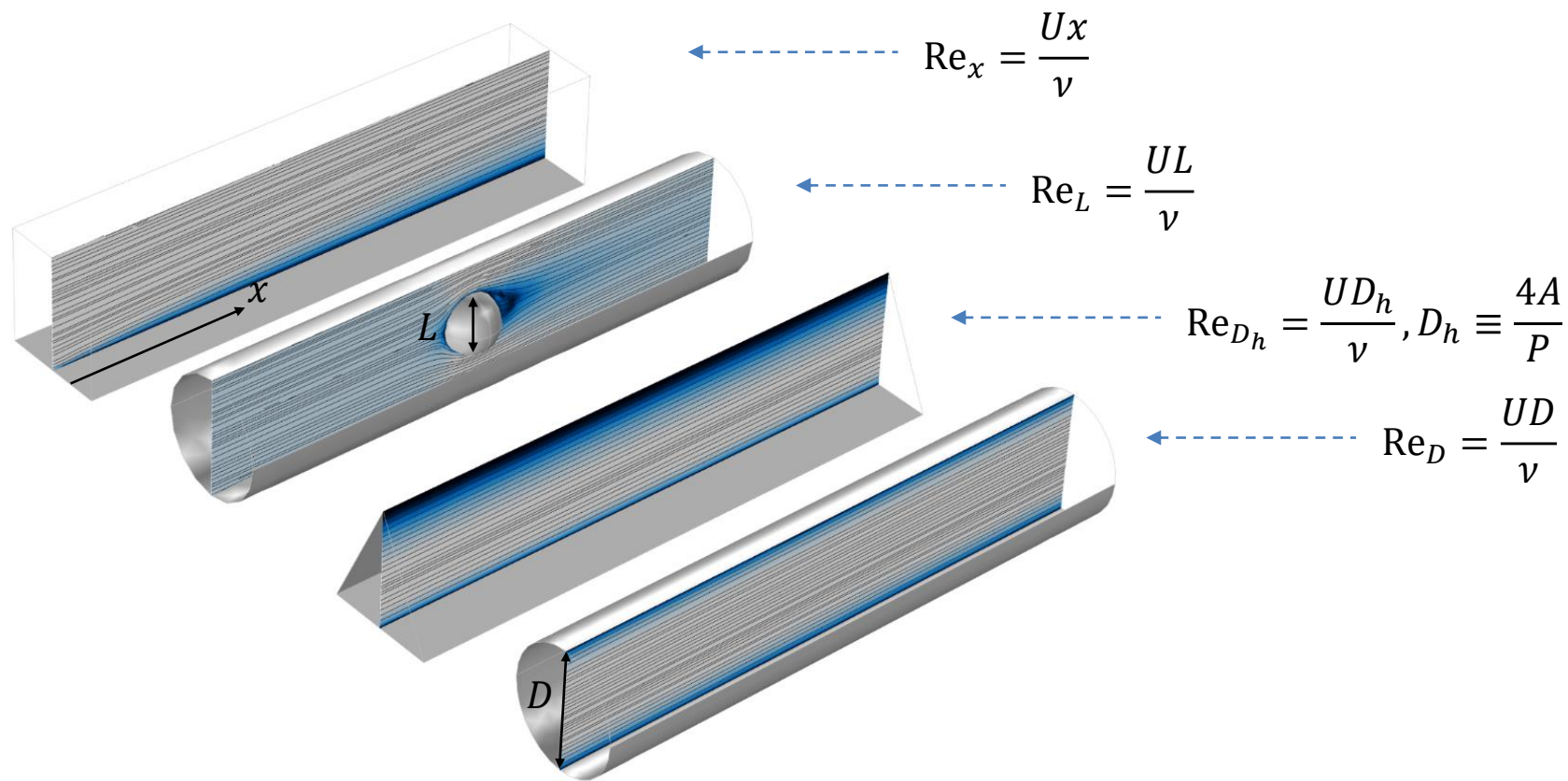


- 高 Re 数 (> 4000): 湍流

- 不同尺度的脉动和涡之间的非线性作用导致流体脉动的产生
- 处处存在粘性阻尼，但只对小尺度的涡有重要影响
- 无序（混沌）的流型



雷诺数计算



平板流

圆球扰流

管流

圆管流

雷诺数示例

- 雷诺数: $Re = \frac{\rho \cdot v \cdot l}{\eta}$

- 过渡层/湍流管道 $l = \varnothing$:

$$Re_{krit} \approx 2300$$

- 示例 (20° C) :

$$Re_{\text{空气}} = 6.7 \cdot 10^4 \cdot v \cdot l$$

$$Re_{\text{水}} = 1 \cdot 10^6 \cdot v \cdot l$$

- 管道流 $v = 0.1 \text{ m/s}$ 和 $l = \varnothing = 10 \text{ cm}$:

$$Re_{\text{空气}} = 670 \quad Re_{\text{水}} = 10000$$



马赫数

- **马赫数：**

$$\boxed{Ma \equiv \frac{|u|}{a}} = \frac{\text{流速}}{\text{音速}}$$

- $Ma = 0$ ：正规的不可压缩流动
 - 音速无限大（假设），扰动瞬时传播
 - 抛物型 Navier-Stokes 方程
 - $0 < Ma < 0.3$ ：“弱”可压缩流动
 - 小和中等梯度的亚音速流
 - 密度变化不超过 5%
 - $0.3 < Ma < 1$ ：“中等”可压缩流动
 - 大梯度（数值）的亚音速流
 - 不能忽略热力学效应
 - $Ma \geq 1$ ：“高度”可压缩流动
 - 音速、超音速流，带激波/膨胀波
 - 椭圆和双曲型 Navier-Stokes 方程
 - 不同类型的边界条件（例如，喷嘴）
- 可压缩流动并不总是等于可压缩流体；可压缩流体有可能是不可压缩流动。
 - 低马赫数情况下的密度变化通常由于温度依赖性引起。

马赫数示例

- 马赫数:

$$Ma = \frac{v}{c}$$

不可压缩: $Ma \leq 0.3$

可压缩: $Ma > 0.3$

- 例 (20°C) :

$$c_{\text{空气}} = 343 \text{ m/s}$$

$$c_{\text{水}} = 1484 \text{ m/s}$$

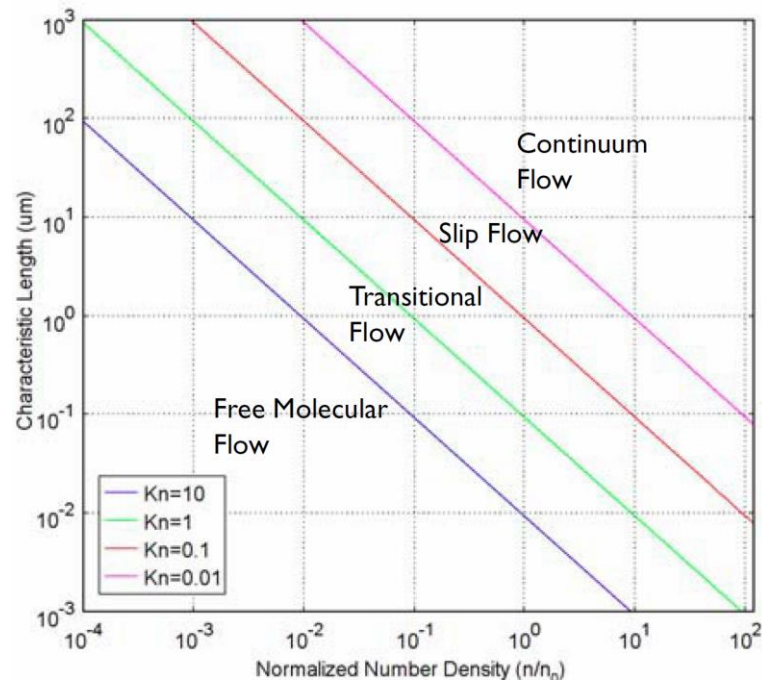
- 接口 $Ma > 0.3$:

高马赫数流动

克努森数 Knudsen Number

$$Kn \equiv \frac{\lambda}{L} = \frac{\text{平均自由程}}{\text{物理长度尺度}}$$

- 稀薄气体流动
- 滑移流 (slpf)
- 自由分子流 (fmf)
- 过渡流 (tran)



- $Kn < 0.01$: 连续流
 - 靠近壁面的 Maxwell 滑移边界层条件的克努森层（稀薄效应）
- $0.01 < Kn < 0.1$: 滑动流
 - 靠近壁面的 Maxwell 滑移边界层条件的克努森层（稀薄效应）
- $0.1 < Kn < 10$: 过渡流
 - 克努森层占流动域的很大分数
 - 修正格子布尔兹曼方法（Modified Lattice Boltzmann method）
- $Kn > 10$: 自由分子流
 - 分子碰撞壁的概率远高于相互碰撞
 - 通过角系数方法来模拟流动

稀薄气体流动 → 微流体模块 & 分子流模块

克努森数示例

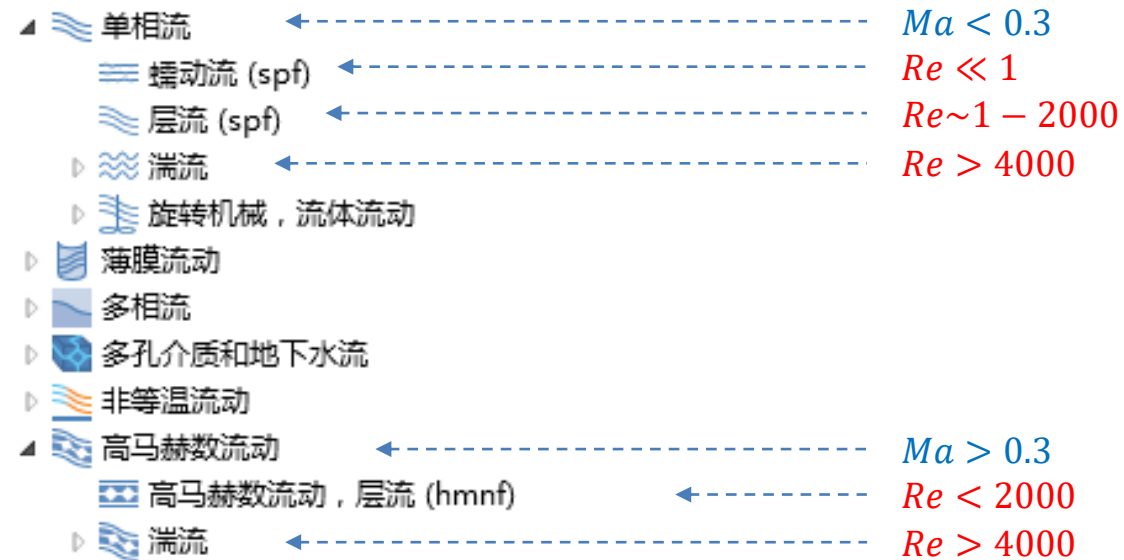
- 克努森（Knudsen）数： $Kn = \frac{\lambda}{l}$
- 分子自由： λ
- 特征尺寸： l
- 例：

气室的边长 $l = 10cm$:

$$p = 1 \text{ mbar} \Rightarrow \lambda \approx 100\mu m$$

$$\Rightarrow Kn \approx 0.001$$

选择合适的流动接口



层流

层流的物理场特征

- 域条件



- 边条件



- 边界条件

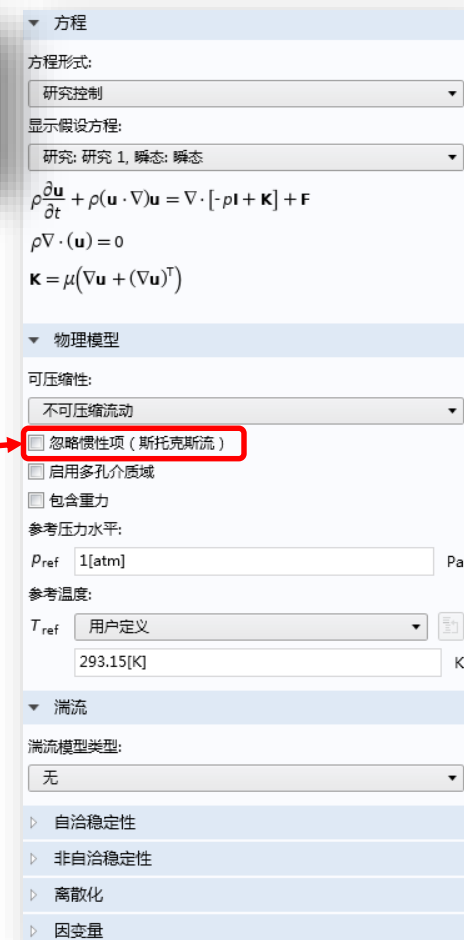
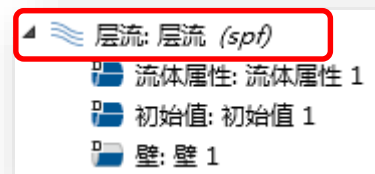


- 点条件



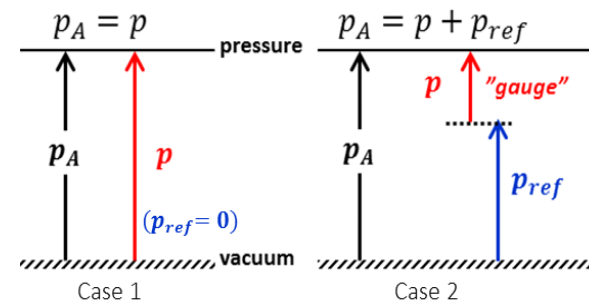
层流

- 求解NS方程
 - 针对低雷诺数（层流）情况
 - 瞬态或稳态求解器
 - 不可压缩或可压缩 ($Ma < 0.3$)
- 可以切换到湍流模型
- 可以切换到Stokes流（蠕动物）
 - 忽略惯性项（适用于 $Re \ll 1$ ）
- 定义参考压力水平（默认：1[atm]）
- 因变量（“未知量”）
 - Velocity $\mathbf{u} = (u, v, w)$
 - Pressure p



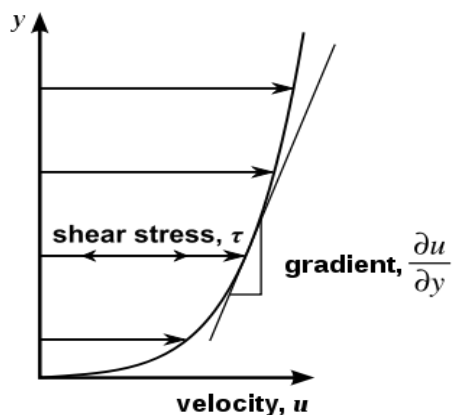
流动压力

- 压力驱动流体运动
 - NS方程只计算压力梯度，不计算绝对值
 - 需要使用绝对压力材料属性计算，e.g., $\rho(p_A, T)$
- 通过两种办法计算压力：
 - 方法1: $\Delta p \sim p_A \rightarrow$ 直接求解绝对压力 $p_A = p$
 - 管道流和高马赫数流
 - 方法2: $\Delta p \ll p_A \rightarrow$ 参考压力 p_{ref} 接近系统压力，求解表压 $p_A = p_{ref} + p$
 - 其它流场
- 为什么重要？ \rightarrow 稳定性和收敛性

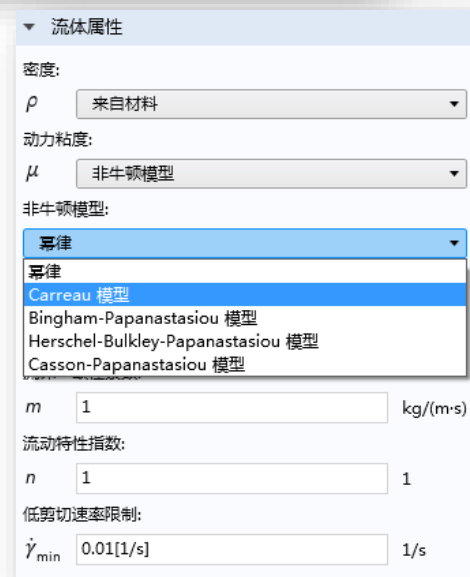
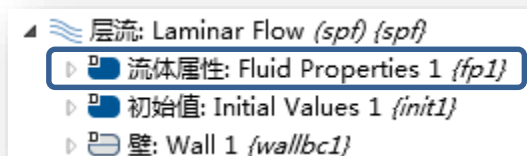


流体属性

- 流体属性
 - 密度
 - 动力粘性
 - 牛顿流体：应力与应变成正比
 - 非牛顿流体：应力与应变之间为非线性关系
 - 幂律模型
 - Carreau模型

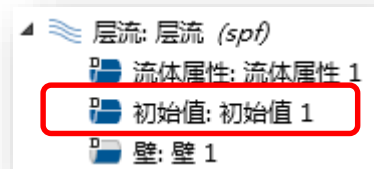


$$\mu = m \dot{\gamma}^{n-1}$$
$$\mu = \mu_{\infty} + (\mu_0 - \mu_{\text{inf}}) [1 + (\lambda \dot{\gamma})^2]^{\frac{(n-1)}{2}}$$
$$\tau = \mu \dot{\gamma} = \mu \frac{\partial u}{\partial y}$$



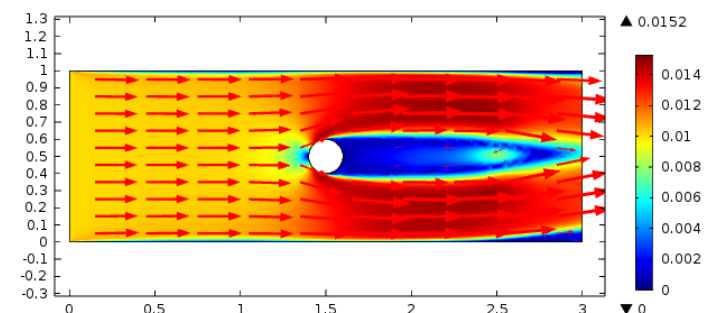
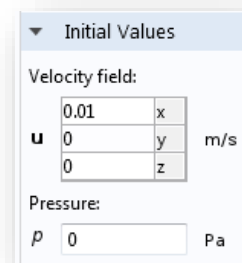
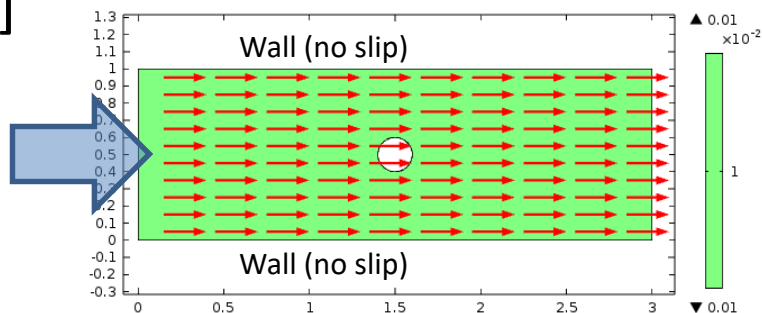
初始值

- 稳态：初始值=数值上的初始猜测
 - 仅仅是数值算法的要求（迭代的起始点），而没有物理意义
 - 任意的初始值都能使线性或弱非线性问题收敛
 - 对于非线性问题（例如CFD），初始值超出“收敛半径”可能导致不收敛 → 有时需要一个接近收敛解的初始值，帮助求解器找到“搜索正确的方向”
 - 边界条件不需要与初始值一致
- 瞬态：初始值=物理上的初始状态
 - 瞬态问题 t_0 时刻的物理解（例如速度和压力）(velocity & pressure field)
 - 所有的边界条件必须与初始值一致
 - 初始值没有清晰的表达式或根本不知道
 - 流程：
 - 使用收敛的稳态解作为初始值
 - 或者，使用常规的初始值（零速度和零压力）和边界条件

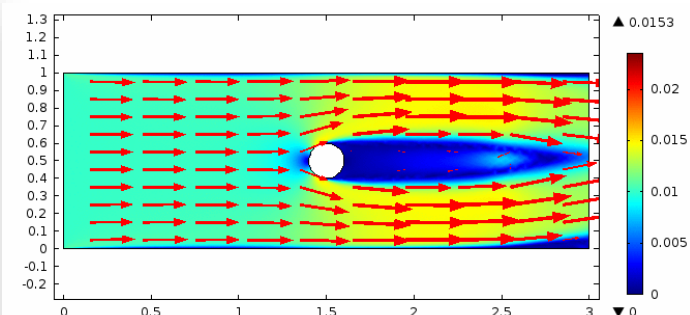
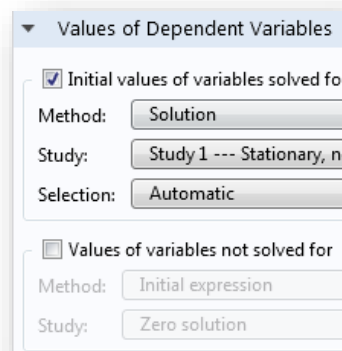
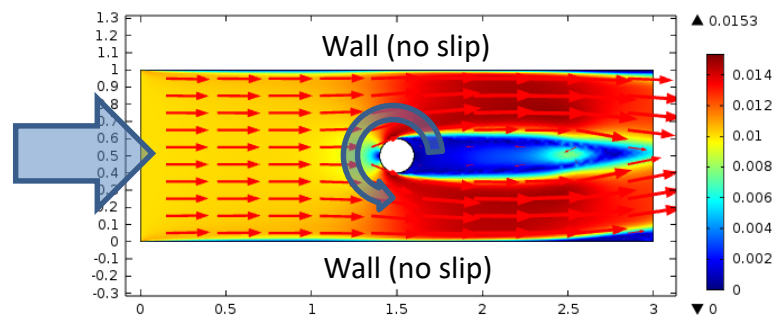


初始值—举例

- 稳态圆柱扰流，网格尺寸：较细化，进口速度：0.01[m/s]，出口压力：0[Pa]



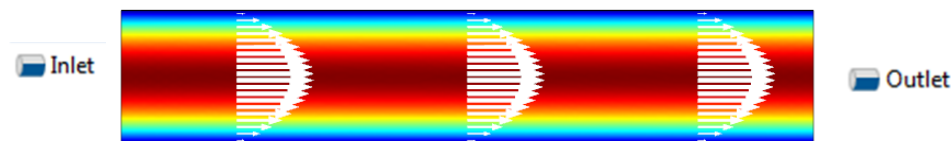
- 瞬态：圆柱从0s开始以0.01[m/s]的速度旋转



将稳态解作为瞬态计算的初始值

进出口边界条件的组合

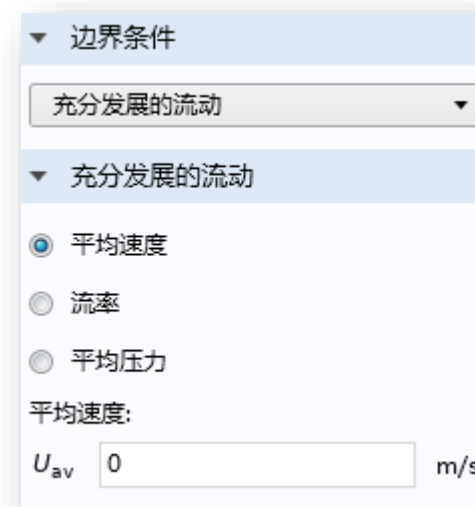
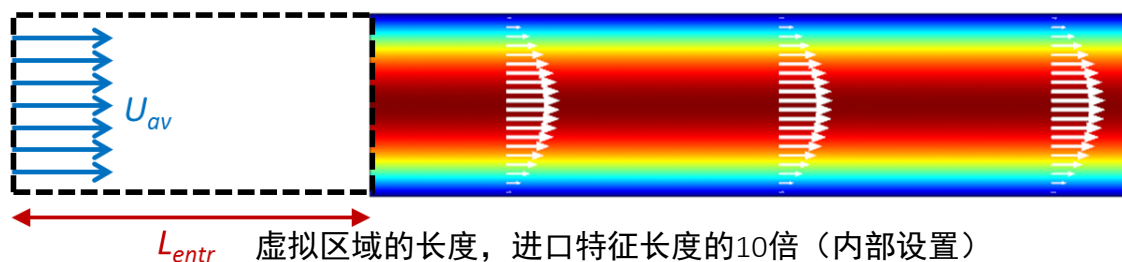
- 适定条件：
 - 速度进口，压力出口
 - 压力进口，速度出口
- 稍微有“难度”条件：
 - 压力进口，压力出口
- 病态条件：
 - 速度进口，速度出口(+ pressure level)



管道流，包含一个进口、一个出口和无滑移壁条件

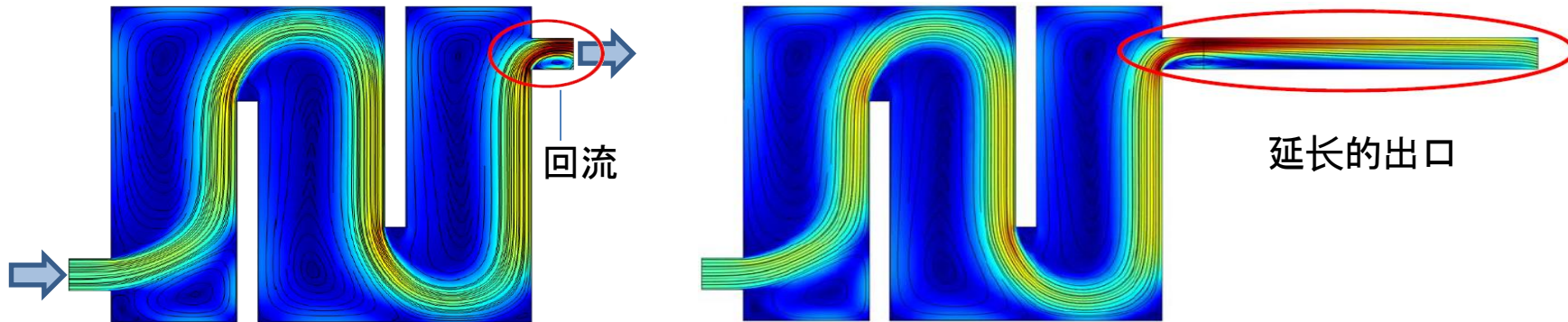
充分发展的流动

- 可以在任意形状的进出口定义层流/湍流的速度分布
 - 假设进口的上游存在一个虚拟的计算域
 - 内部，求解1维NS方程并投影到边界上
 - 该条件与内部壁冲突



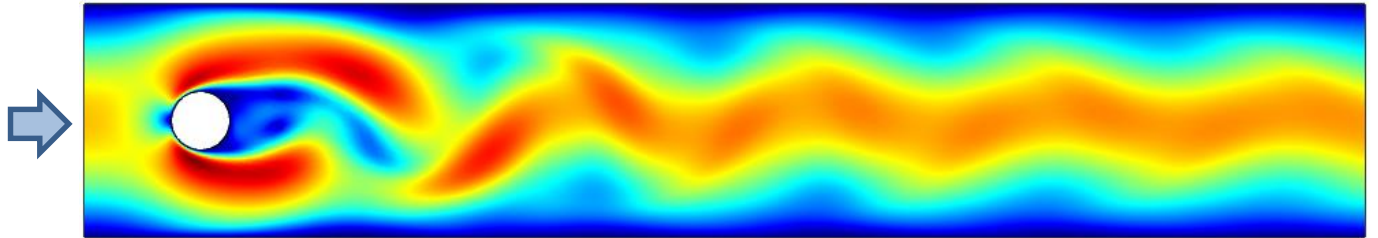
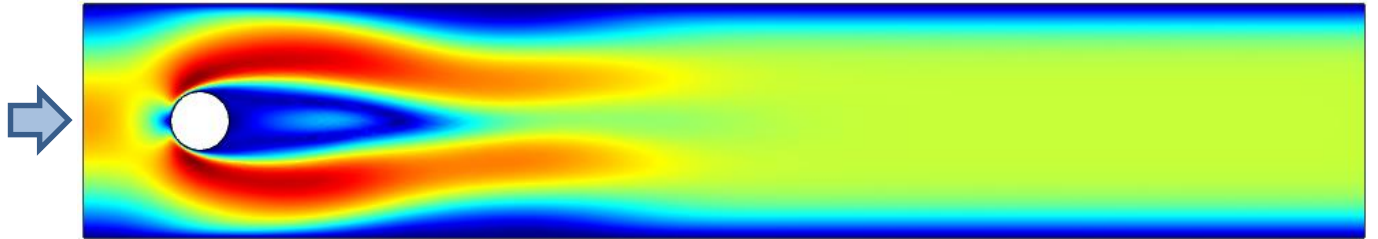
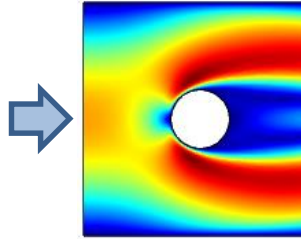
出口位置

- 选择合适的出口条件不是一件简单的工作
 - 如果在出口附近存在特定的流动结构（尾迹、回流），需要将出口延长至完全包含该流动结构



出口位置

- 出口处经常定义均匀压力分布
- 如果出口出现复杂的流动结构（如，回流、速度变化），均匀压力不是一个好的选择
- 低雷诺数（稳定）
 - 可能存在稳态解
- 高雷诺数（不稳定）
 - 不存在稳态解



壁边界条件

- 滑移

- 法向速度为0 $u \cdot n = 0$

- 无滑移:

- 壁上速度为零 $u = 0$

- 滑动壁:

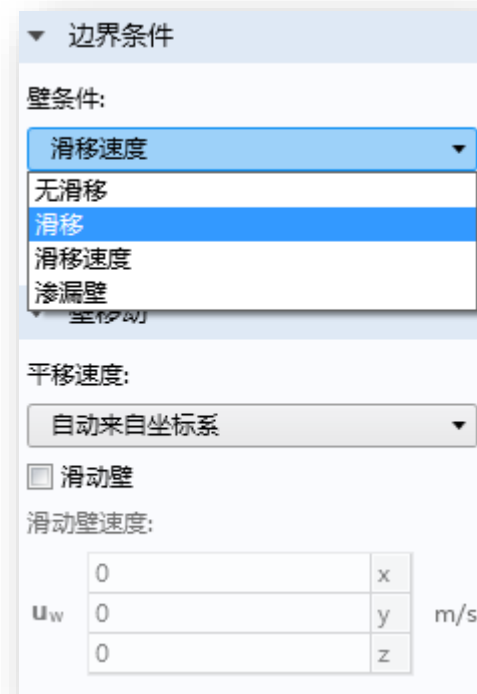
- 指定切向速度 $u = u_{w,proj} = \frac{u_w - (u_w \cdot n)n}{\|u_w - (u_w \cdot n)n\|} \cdot \|u_w\|$

- 移动壁:

- 指定壁运动速度 $u = u_w$

- 渗漏壁:

- 流体渗漏进或通过多孔壁离开求解域



壁边界条件

- 滑移速度
 - 从微观尺度的视角，很少存在严格“无滑移”或“滑移”，往往是介于这两者之间 → 滑移速度
- 两种现象：
 - 粘度的非连续效应（粘性诱导滑移）
 - 热梯度（热蠕变）

壁条件:

滑移速度 ▼

☒ 使用粘性滑移

滑移长度:

用户定义 ▼

滑移长度:

L_s m

☒ 使用热蠕变

温度:

T 用户定义 ▼ 📄 🔍

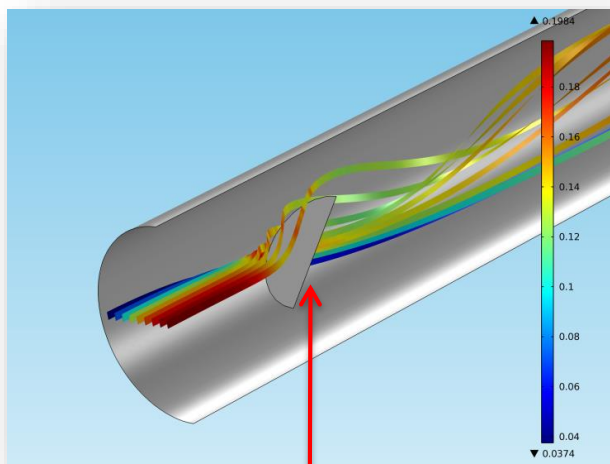
K

热滑移系数:

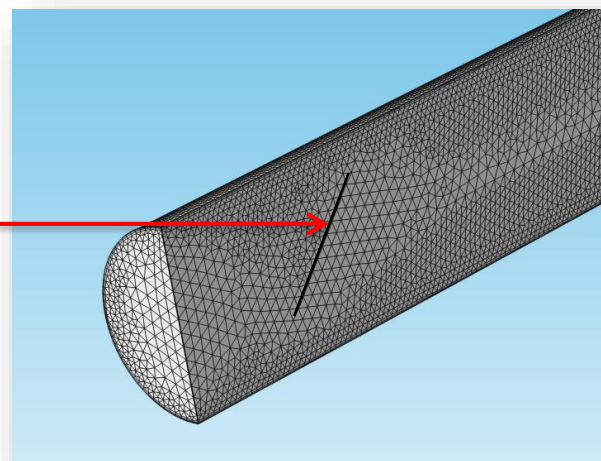
σ_T 1

内部壁

- 使用内部壁条件可以避免对薄结构划分网格
- 滑移、无滑移、移动壁
- 变量（速度、压力、湍流变量）在跨越该边界时不连续

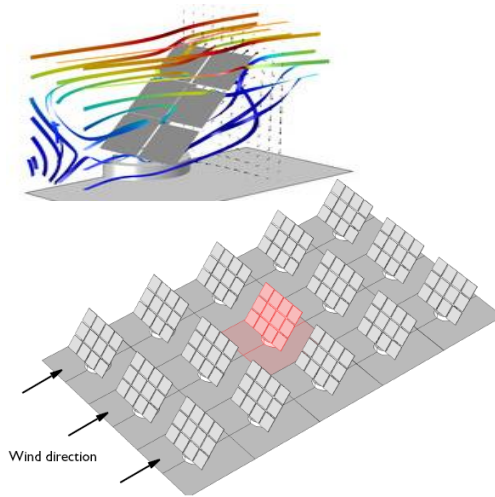
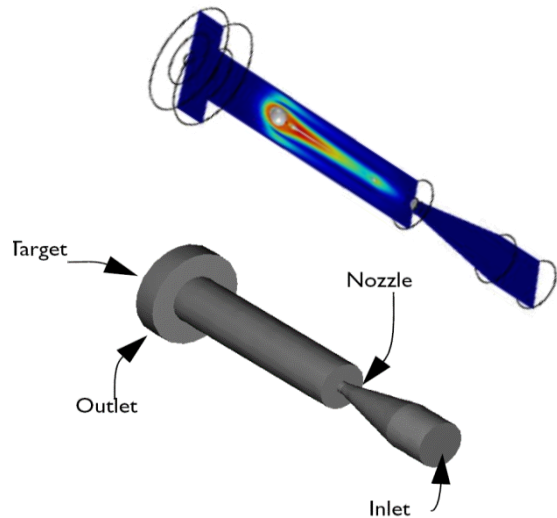


无几何厚度的内部壁



对称、轴对称和周期性

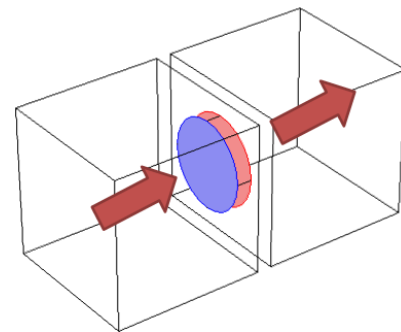
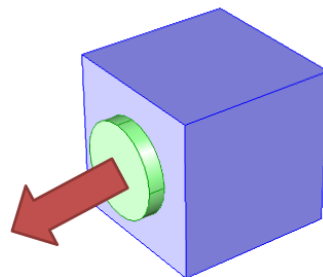
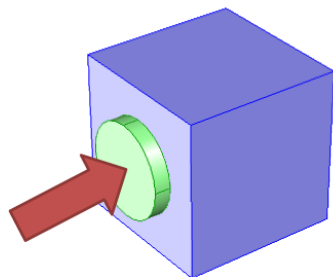
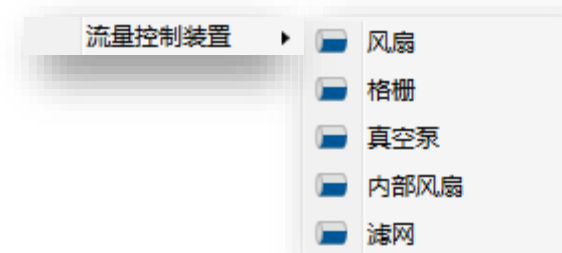
- 极大地减少内存需求和计算时间
- 流场和几何必须为对称/轴对称/周期性



对称几何和边界条件，但是流场可能是非对称（Re数！）

流量控制装置

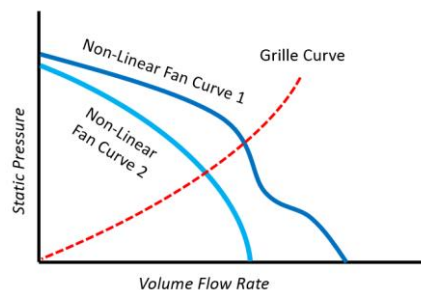
- 将装置作为边界而不是域的一部分
- 压力边界
- 风扇和格栅可以作为出口或入口
- 真空泵为出口
- 内部风扇和滤网为内部边界



风扇和格栅

- 风扇曲线：集总的曲线，给出流速与静压的函数关系

- 使用 spf.V0 作为流速
- 使用 spf.p0 作为静压



- 二维中，第三个方向的厚度 D_z 用来定义流率，风扇可看作矩形
- 可以定义风扇导致的旋流效应

▼ 方程

显示假设方程:

研究: 研究 1, 瞬态: 瞬态

$$\mathbf{n}^T [-p\mathbf{I} + \mathbf{K}]\mathbf{n} = -\hat{p}_0$$
$$\hat{p}_0 \geq p_{\text{input}} + \Delta p_{\text{pc}}, \mathbf{u} \cdot \mathbf{t} = 0$$

▼ 流动方向

流动方向:

入口

法向流

▼ 参数

输入压力:

p_{input} 0 Pa

静压曲线:

静压曲线数据

▼ 静压曲线数据

| 流率 | 静压 |
|----|----|
| 0 | 0 |

▼ 流动方向

流动方向:

入口

涡流

旋转频率:

单位时间转数

旋转轴基点:

| | x | y | z |
|-----------------|---|---|---|
| r_{bp} | 0 | 0 | 0 |

单位时间转数:

f 3 1/s

旋转方向:

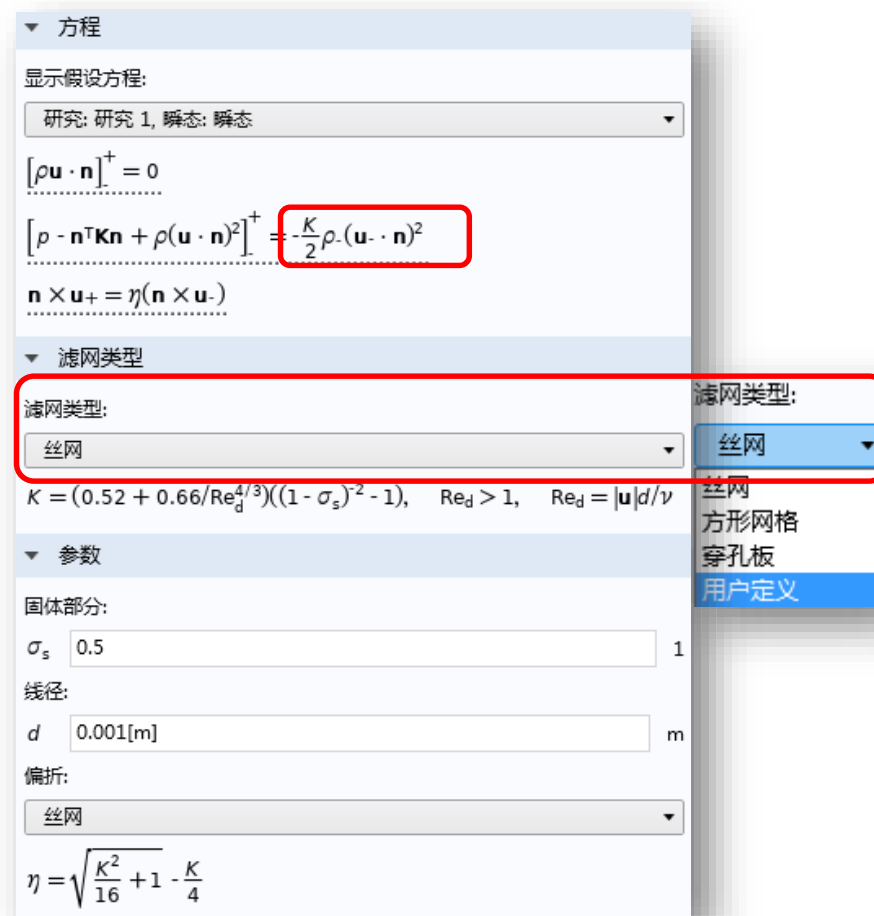
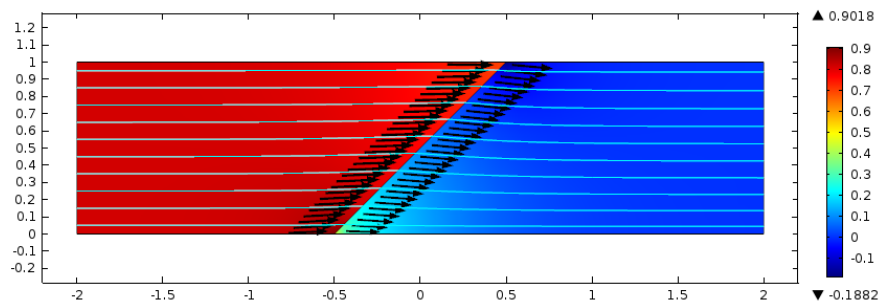
正角速度

涡流比:

C_{sf} 0.05 1

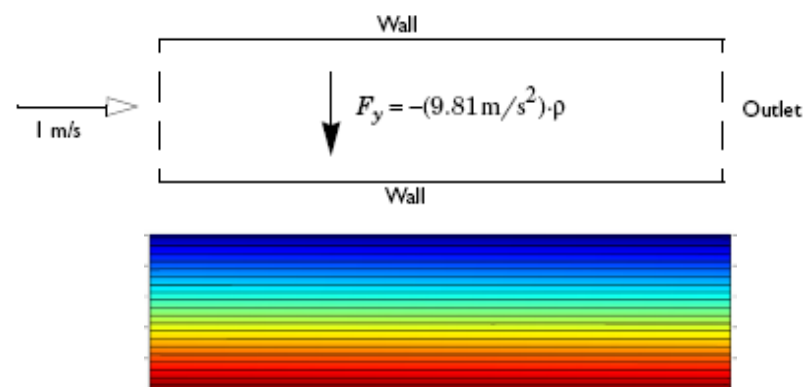
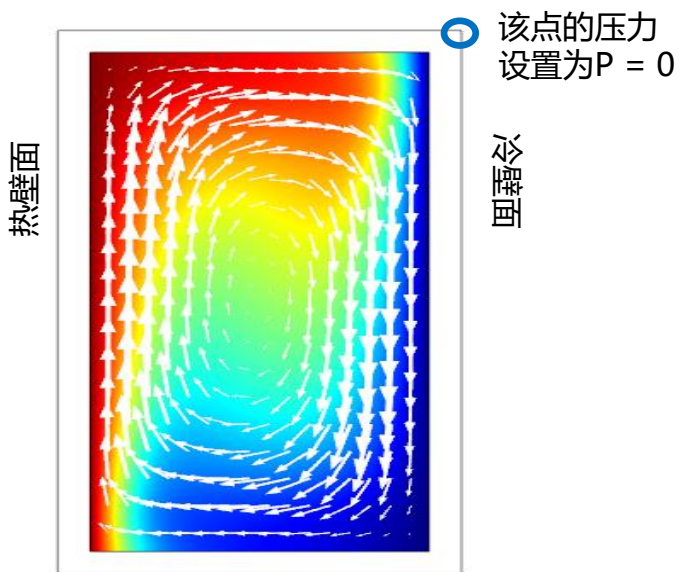
滤网

- 滤网指代具有分布式孔道的障碍物，例如金属丝网、格栅和孔板
- 孔道尺寸远小于流场尺寸（可计算尺寸），器件被简化为内部边（2D）或面（3D）
- 与实际的孔道模型相比，可以大大减小计算量



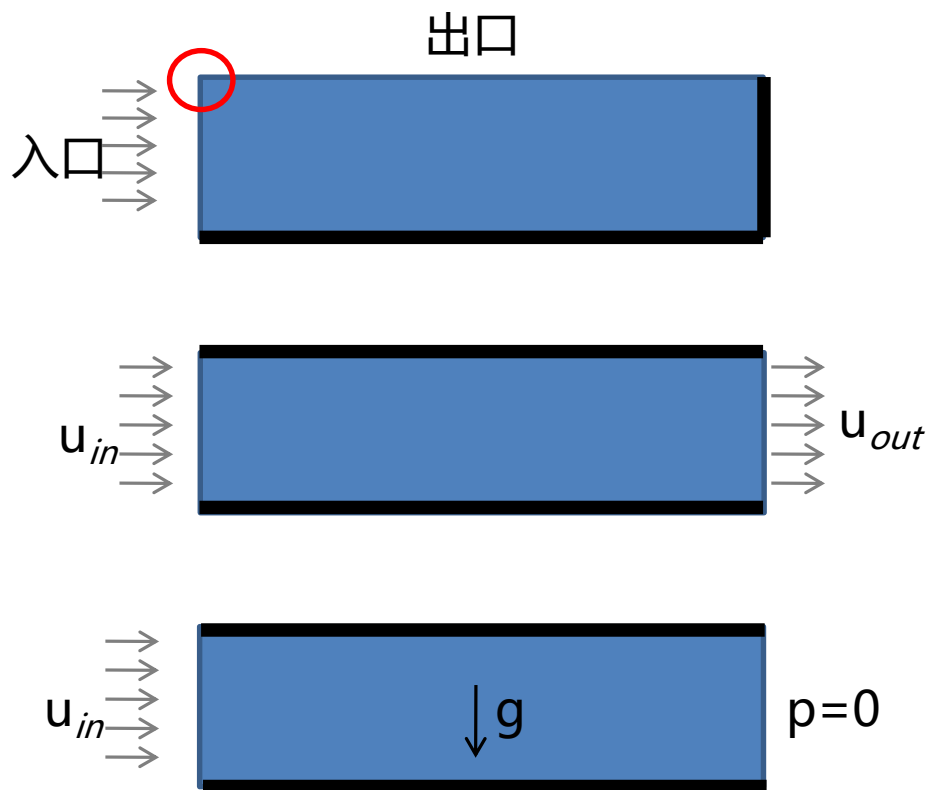
压力点约束

- 如果没有边界条件限定系统压力，需要使用其它方式来限定
 - 压力点约束
- 当考虑重力时，出口压力不能设定为常数
 - 要考虑静水压力的影响



冲突的边界条件

- 入口与出口相邻
- 同时指定入口和出口速度
 - 没有唯一解 → 需要固定压力
 - 即使质量通量守恒，还是会存在数值计算的困难
- 边界条件与载荷冲突
- ...

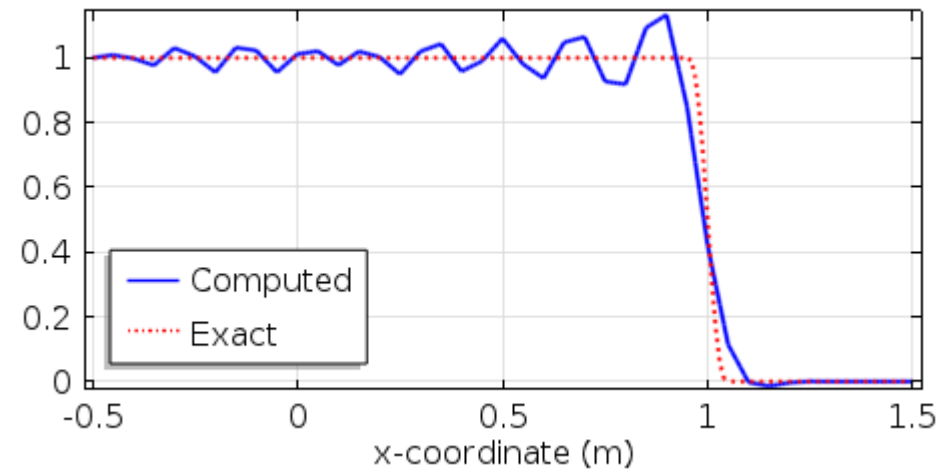
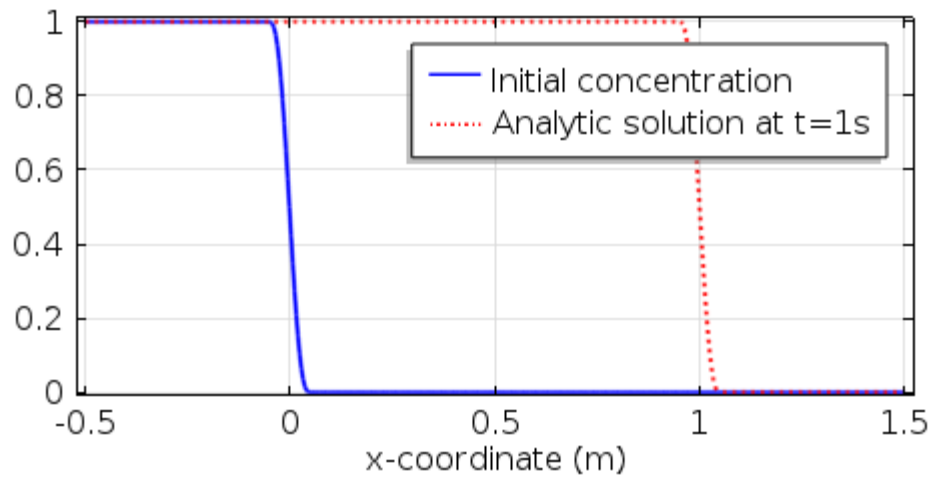


CFD 数值稳定技术

- 对于非线性的对流扩散方程，使用Galerkin 有限元方法离散，会具有非稳定性，可以通过对流与扩散项的比值判定

$$\frac{\partial u}{\partial t} + \beta \cdot \nabla u = \nabla \cdot (c \nabla u) + F$$

不稳定判据: $Pe := \frac{\|\beta\|h}{2c} > 1$



CFD 数值稳定技术

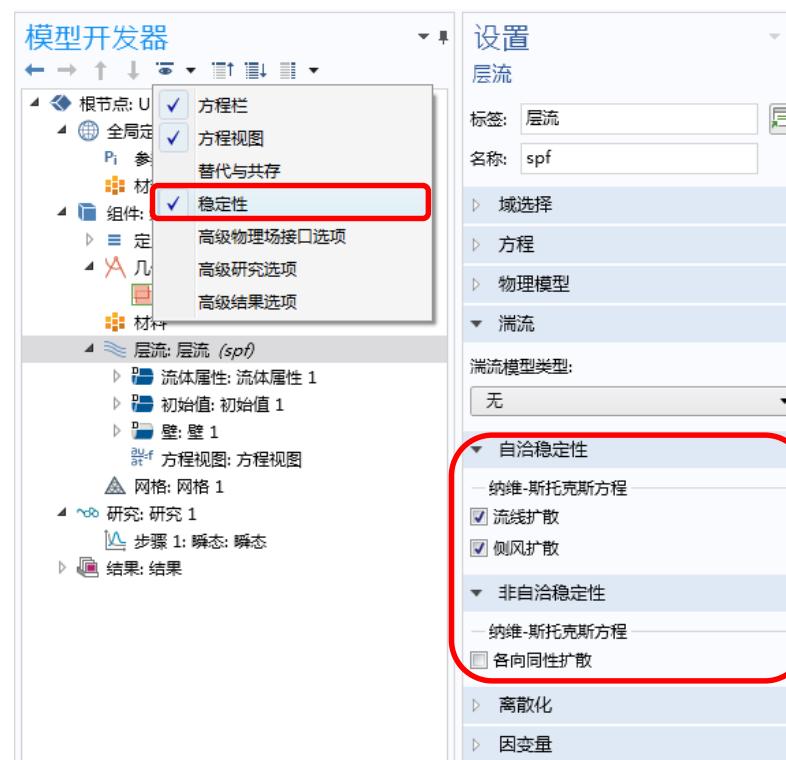
- 为了使Peclet数小于1，在给定的对流和扩散参数，需要较小的网格，导致计算量增加

- 如果流速为1m/s，扩散系数为1e-9m^2/s，则网格尺寸要求

$$h \leq \frac{2c}{\|\beta\|} = 2 \cdot 10^{-9}$$

- 数值稳定计算可以保证在粗糙网格上进行计算

- 自洽稳定性：流线和侧风扩散
- 非自洽稳定性：各向同性扩散



非自洽稳定性

- 定义人工扩散系数

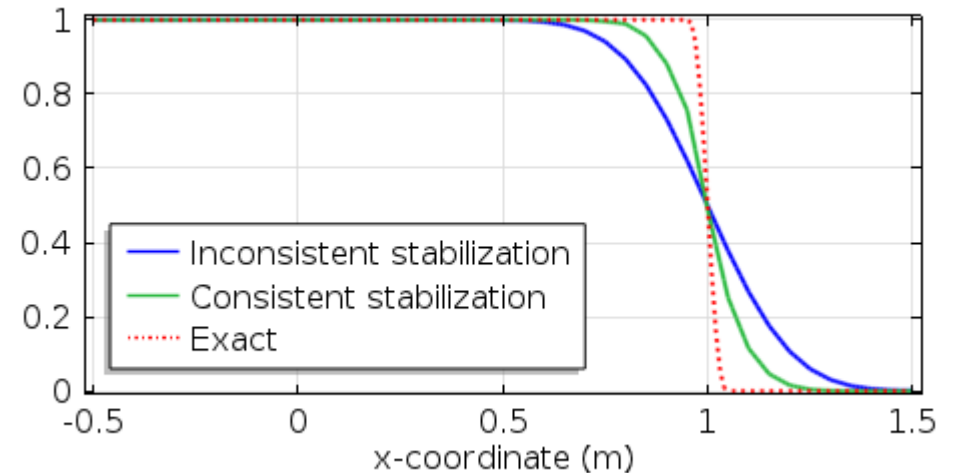
$$c_{\text{art}} = \delta h \|\beta\|$$

- Peclet数变形为

$$\text{Pe} = \frac{h \|\beta\|}{2(c + c_{\text{art}})} = \frac{h \|\beta\|}{2c + 2\delta h \|\beta\|}$$

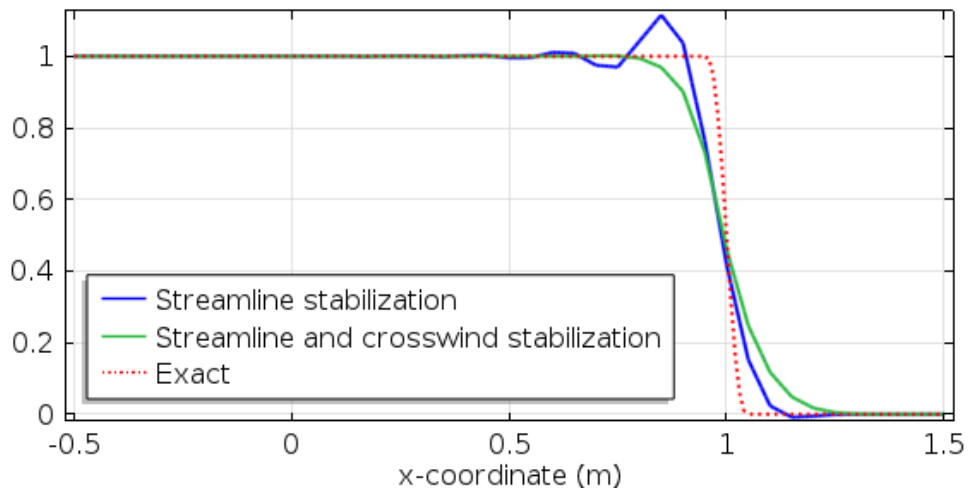
- 则 $\delta=0.5$ ，可以保证Pe小于1，默认值为0.25已经足够。
- 该方法在各个方向上都施加人工粘性，所以称为“各向同性扩散”

- 直接施加人工扩散系数，会导致数值解与精确解之间的差异，所以称为“非自洽”方法
- 增大 δ 取值会增加误差



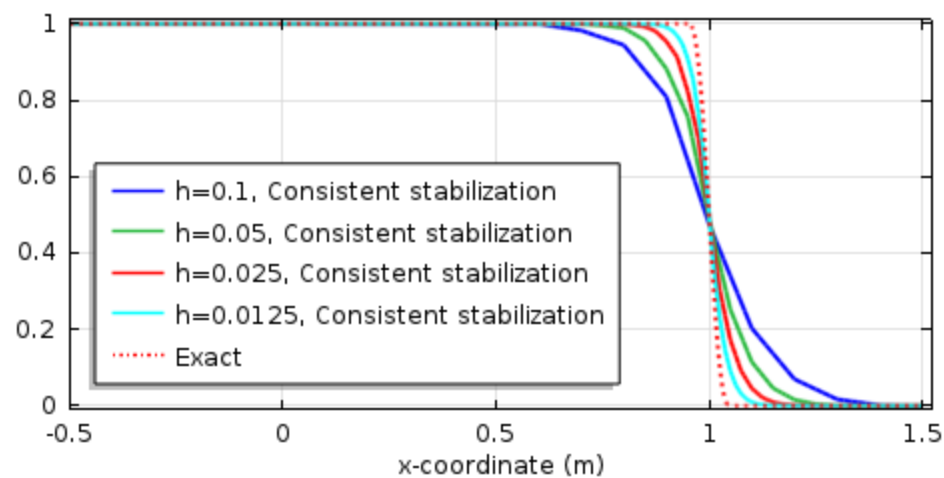
自洽稳定性

- 在网格足够精细的区域不使用人工扩散系数
- 流线扩散：只在流线方向添加人工扩散系数
- 使用流线扩散后，可以抑制平滑区域的不稳定；但梯度大的位置还会出现不稳定；
- 添加侧线扩散后可以消除梯度位置的不稳定，同时保证梯度部分的精度（通过背后的数值方法，在该区域不施加人工扩散系数）

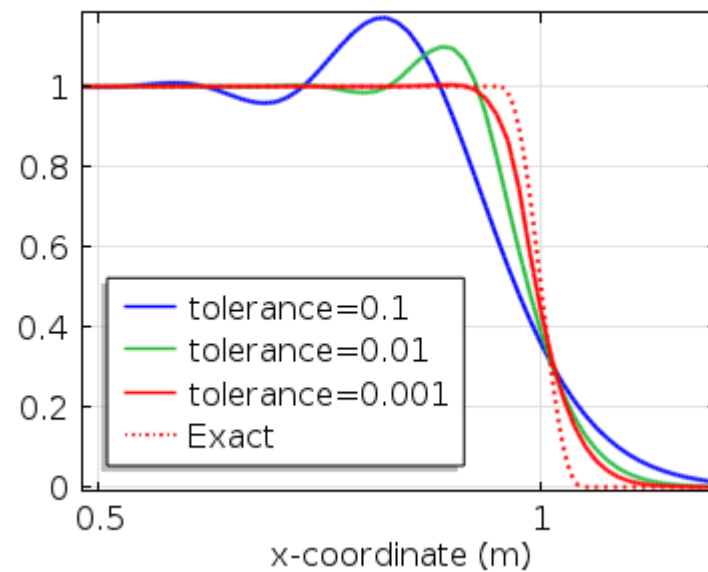


稳定性技术的影响因素

- 网格



- 容差



适用性

- 流线扩散

- 作用于整个方程系统
- 对流作用占主导时，流线扩散必须使用
- 对于不可压缩NS方程，如果通过该设置方程稳定，则压力基函数的阶次可以与速度基函数的阶次相同，否则压力基函数的阶次要小于速度基函数的阶次（Babuska-Brezzi 条件）
- 对于不可压缩NS方程，当使用一阶单元时，必须使用流线扩散使用几何多重格点（求解器，或预条件器）进行求解，且至少一个层级的多重格点使用线性 Lagrange 单元时，同样需要使用流线扩散

- 侧风扩散

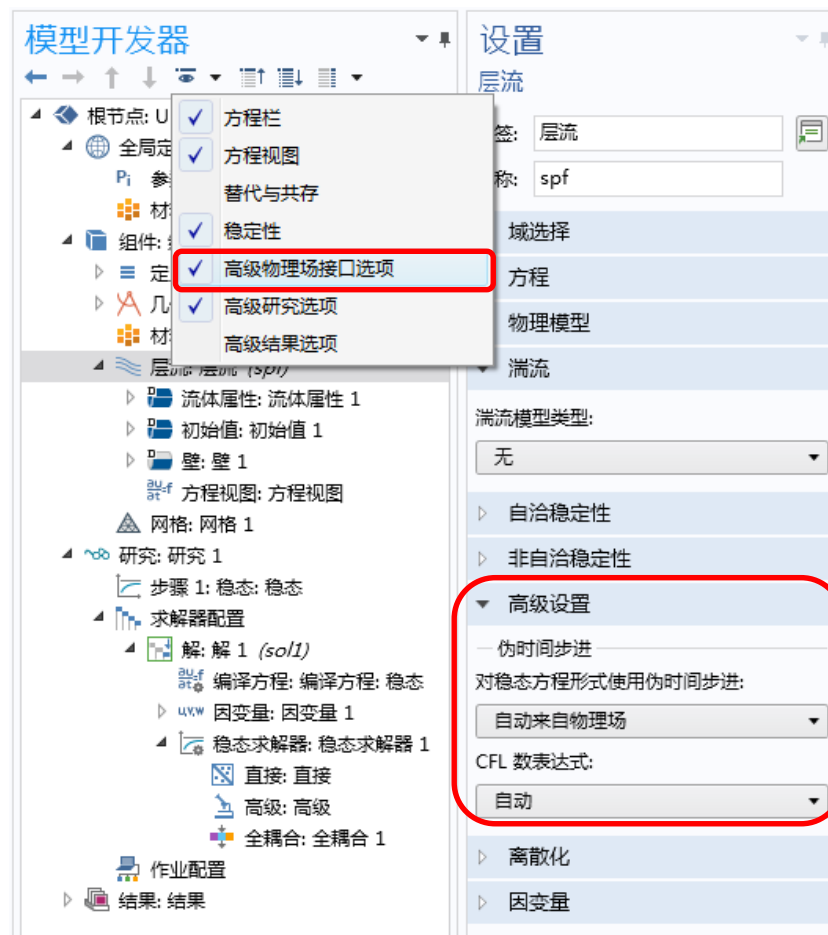
- 作用于整个方程系统
- 用于可压缩Navier-Stokes方程时，它变成捕获激波的算子
- 不可压缩流动不包含激波，但是侧风扩散仍然很有用，可用于在尖端边界和剪切层引入额外的扩散，否则就应该使用非常密的网格来进行解析
- 缺省激活侧风扩散，当问题可以完全被网格解析时很容易获得结果。

适用性

- 自洽稳定性：
 - 通过内部稳定性提高收敛性
 - 符合质量和动量守恒
 - 通常情况下不需要禁用（默认启用）
- 非自洽稳定性：
 - 各向同性扩散不符合质量和动量守恒的自洽性
 - 结果为近似解（不一定物理正确）
 - 方程稳定，所以收敛简单得多
 - 因子定义扩散项厚度 δ ，0 代表没有
 - 可用于生成流场的初始值
 - 连续性方程的稳定性并未得到改善

高级设定

- 伪时间步进：
 - 对于稳态问题，如果无法给出合理的初始值，可以转化为瞬态问题
 - 湍流模型缺省勾选
 - 可以用于层流，提高收敛性
 - CFL数表达式“自动”带PID算法
 - 可以手动指定CFL数
- 湍流变量尺度参数：
 - 为基于时间的解的可变缩放绝对容差



离散化

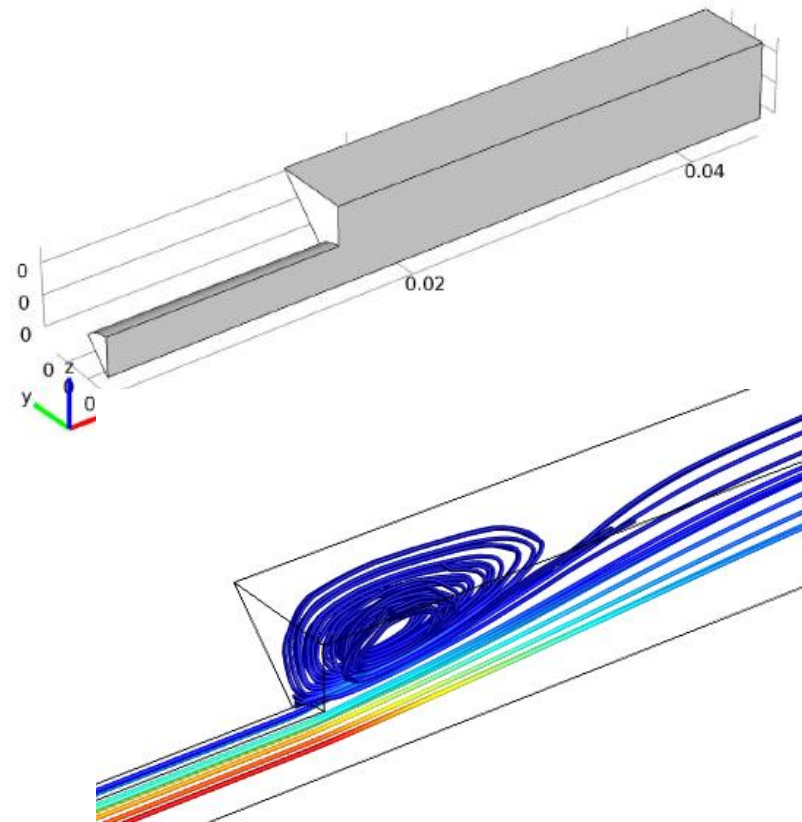
- 流体的离散格式
 - 有限元形函数阶次
 - P1 + P1: 速度和压力都为线性
 - 对于湍流推荐使用 P1+P1
 - P2+P1: 速度为二阶, 压力为一阶, 则常用于:
 - 周期性边界条件
 - 两相流



案例介绍及演示

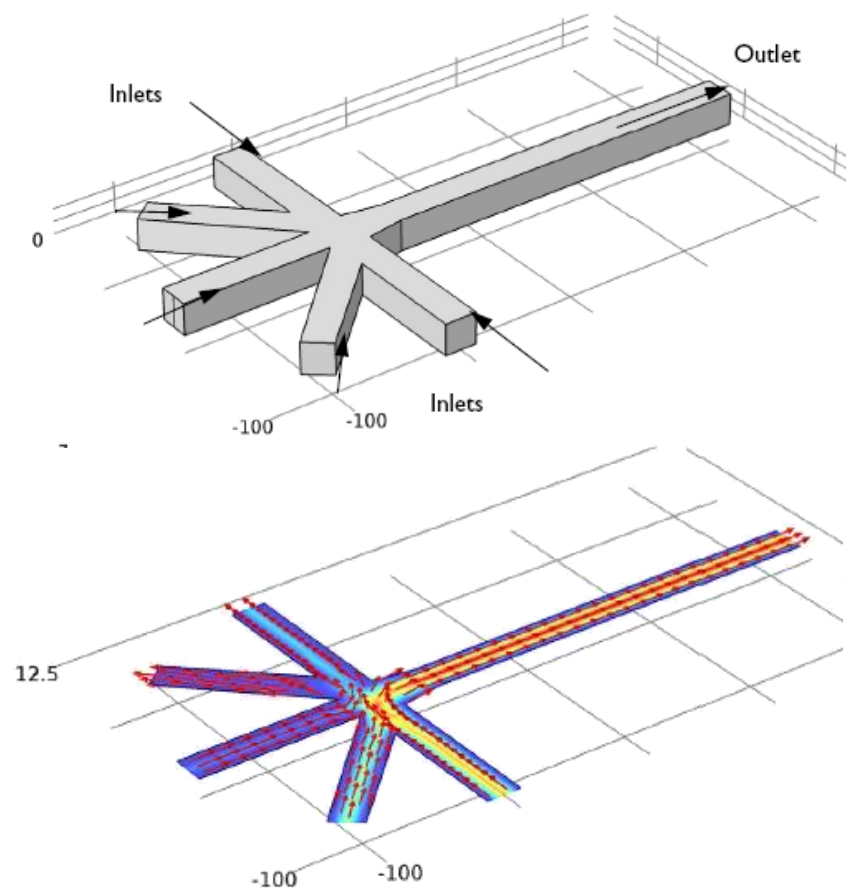
后台阶流

- 后台阶几何内的不可压缩NS方程
- 依据几何对称性（**区别镜像对称、旋转对称与轴对称**），取1/8建模
- 流体离开狭窄区域后形成回流区，是需要考察的主要特征
- 本模型演示了回流区的形成，并使用流线使回流区可视化



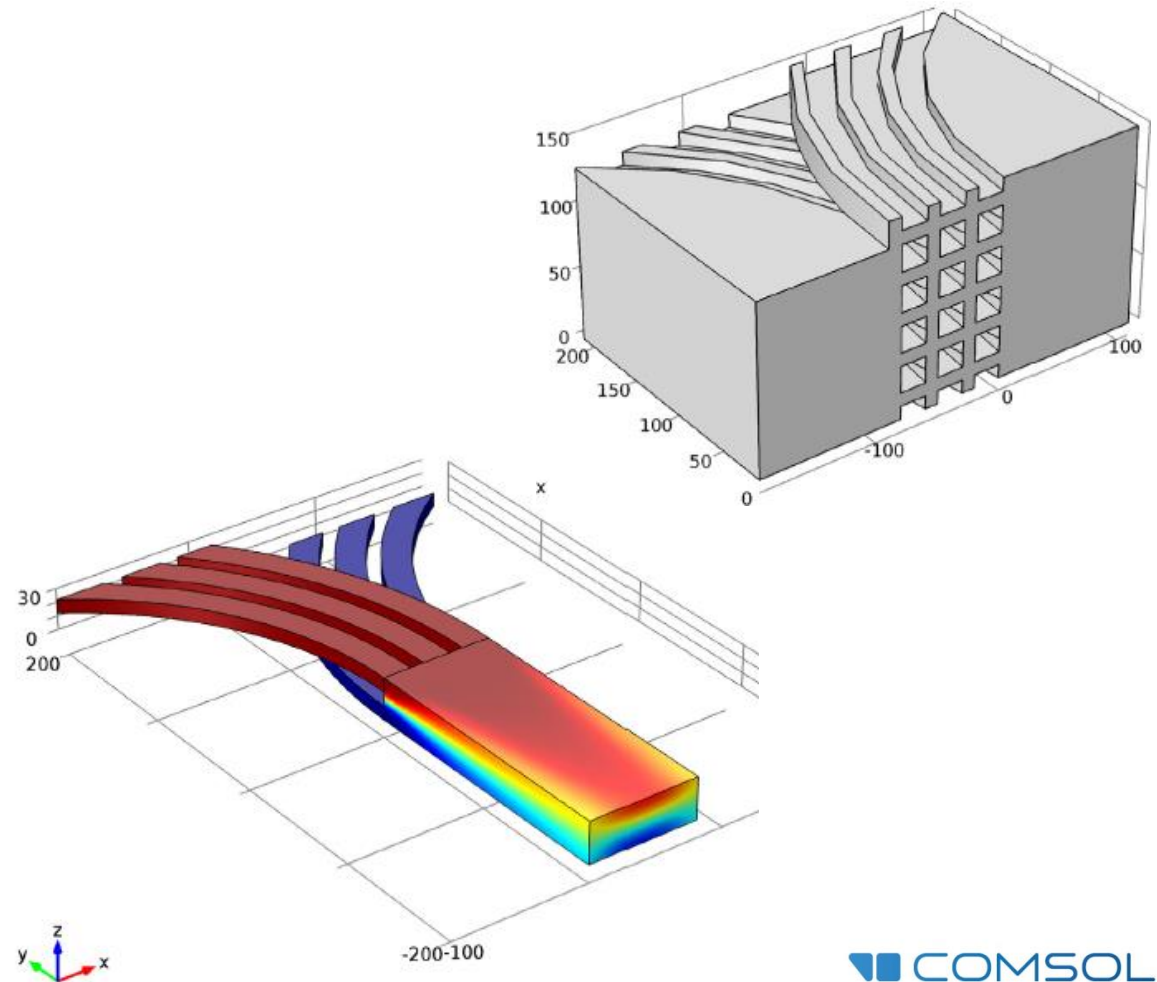
星型微流道芯片

- 该芯片装置是一个注射器，定量地向反应器注射流体
- 通过压力精确控制流体流量和速度
- 边界条件随时间变化导致流场的瞬态效应，需要使用瞬态求解器建模
- 使用扫掠方法剖分网格（**注意网格类型的使用**）



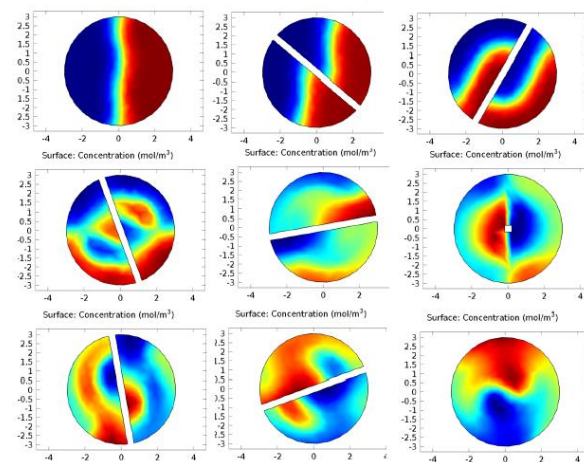
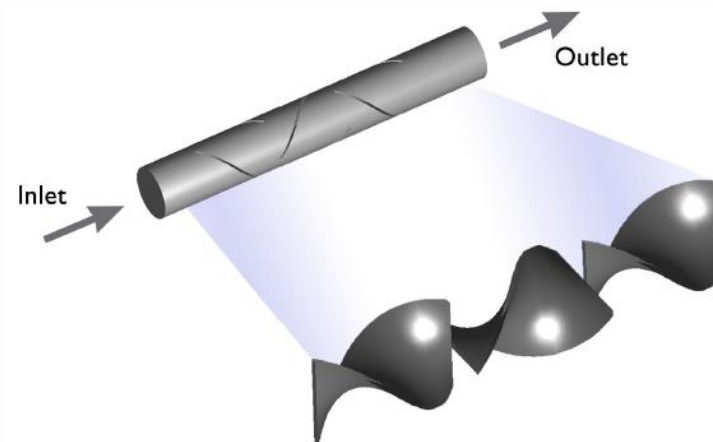
薄板混合器

- 微流动尺度下的流体混合与大尺度下的混合有很大不同（旋转机械，3D湍流）
- MEMS器件中的流体混合是典型的层流
- 对称条件
- 多物理场：层流与稀物质传递（对流&扩散问题）



层流静态混合器

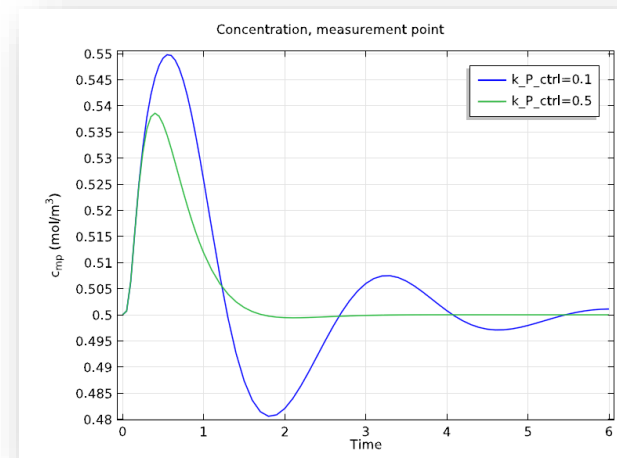
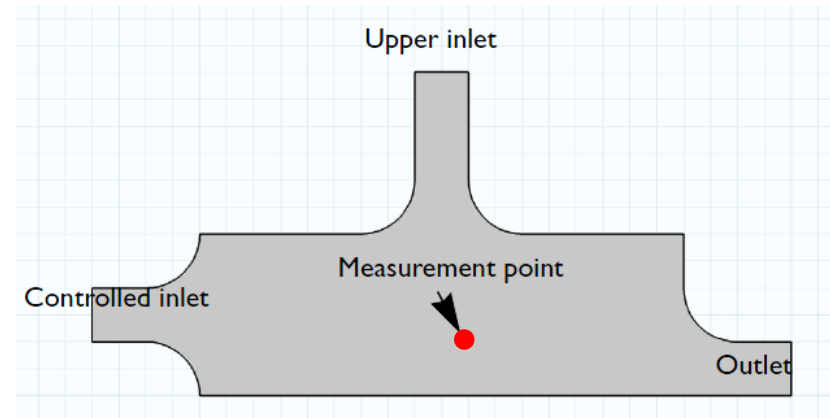
- 研究管道内的螺带（静态结构）对流体的混合
- 由于较小的压降（对生物流体和精细化工至关重要），该混合技术适用于层流混合
- 多物理场：分两段求解层流与稀物质传递
- 定义阶跃函数



通过PID控制器控制反应器

- 两股流体在燃烧室内混合
- 起燃点处的物质浓度至关重要
- 左侧进口速度需要使用控制器控制，同时，需要对控制器参数进行优化
- PID控制律：

$$u_{in} = \underbrace{k_P(c - c_{set})}_P + \underbrace{k_I \int_0^t (c - c_{set}) dt}_I + \underbrace{k_D \frac{\partial}{\partial t} (c - c_{set})}_D$$



案例演示：非牛顿流体

- 与剪切速率相关的粘度系数对线性聚苯乙烯溶液流动的影响
- 使用非牛顿流的Carreau粘性模型
- 轴对称→将3D模型简化为2D轴对称
- 通过参数化扫描研究进口压力的影响

